

# **KAPITEL 17 :**

# **Neutrinos**

- 17.1 Neutrino Quellen**
  - 17.2 Neutrino Massen**
  - 17.3 Neutrino Oszillationen**
  - 17.4 Atmosphärische Neutrinos**
  - 17.5 Neutrinos von der Sonne**
  - 17.6 Neutrinos von Supernova 1978A**
-

# 17.1 Neutrino Quellen

## Künstliche Neutrino Quellen

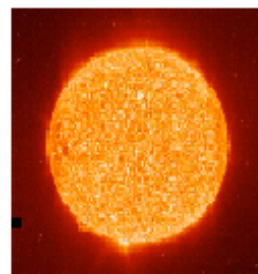
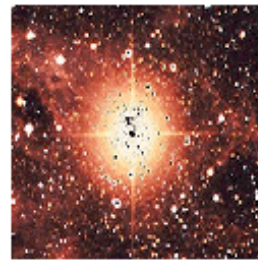
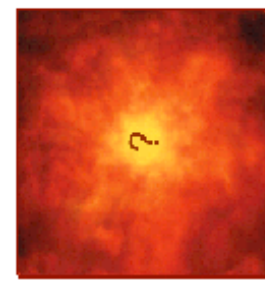
Kernreaktor  
 $n \rightarrow p e^- \bar{\nu}_e$



Beschleuniger  
Teilchenstrahlen:  
 $\pi^+ \rightarrow \mu^+ \nu_\mu$



## Natürliche Neutrino Quellen



Big Bang  
 $300 v_i / \text{cm}^3$   
 $i = e, \mu, \tau$

SuperNova  
 $10^{-4} v_i / \text{cm}^3$   
 $i = e, \mu, \tau$

Atmosphäre  
 $\pi^+ \rightarrow \mu^+ \nu_\mu$   
 $\mu^+ \rightarrow e^+ \nu_e \bar{\nu}_\mu$

## 17.2 Haben Neutrinos eine Masse ?

- $m_\gamma = 0$ : aus Eichinvarianz der elektromagnetischen WW.  
Solches Invarianzprinzip existiert nicht für  $\nu$ 's (sind keine Eichbosonen) !
  - Standardmodell:
    - Leptonflavour-Zahl  $L_\alpha$  erhalten
    - Es gibt keine RH Neutrinos! Neutrinos haben feste Helizität:  $h = -1(+1)$  für  $\nu(\bar{\nu})$ , nur möglich für  $m_\nu = 0$
- ⇒  $m_\nu \neq 0$  bedeutet Abweichung vom SM

### Auskunft über Neutrinomassen:

- Direkte Massenbestimmung:

| Massengrenzen  |   |                          |
|----------------|---|--------------------------|
| Teilchen       | Bestimmung via                                | Grenze                   |
| $m_{\nu_e}$    | $\beta^-$ -Zerfall des Tritiums               | $< 2.2 \text{ eV/c}^2$   |
| $m_{\nu_\mu}$  | $\pi^+ \rightarrow \mu^+ \nu_\mu$             | $< 0.19 \text{ MeV/c}^2$ |
| $m_{\nu_\tau}$ | $\tau \rightarrow \nu_\tau + \text{Hadronen}$ | $< 18.2 \text{ MeV/c}^2$ |

- $\nu$ -Oszillationen:  $\nu_\alpha \longleftrightarrow \nu_\beta$  mit  $\alpha, \beta = \nu_e, \nu_\mu, \nu_\tau$

Notwendige Bedingung:

- nicht alle  $\nu$ 's haben  $m_\nu = 0$  (siehe später)
- $L_\alpha$  nicht streng erhalten →  $\nu$ -Arten mischen untereinander

# $m_{\nu_e}$ aus $\beta^-$ Zerfall des Tritiums

Methode:  $m_{\nu_e}$  bestimmen aus Verlauf des  $\beta^-$ -Spektrums nahe der Endenergie ( $E_0$ )



Kurie–Darstellung:

$$K(E) = [\sqrt{(E_0 - E)^2 - (m_{\nu}c^2)^2} \cdot (E_0 - E)]^{\frac{1}{2}}$$

$E_0 \dots$  Endpunktsenergie

$$m_{\nu_e} = 0$$

Kurie Plot ist Gerade:  $K(E) = E_0 - E$   
mit Endpunkt  $E_{\max} = E_0$

$$m_{\nu_e} \neq 0$$

Kurie Plot ist  $\sim$  Gerade für grosse  $E_{\nu}$

Nahe des Endpunkts (kleine  $E_{\nu}$ ):

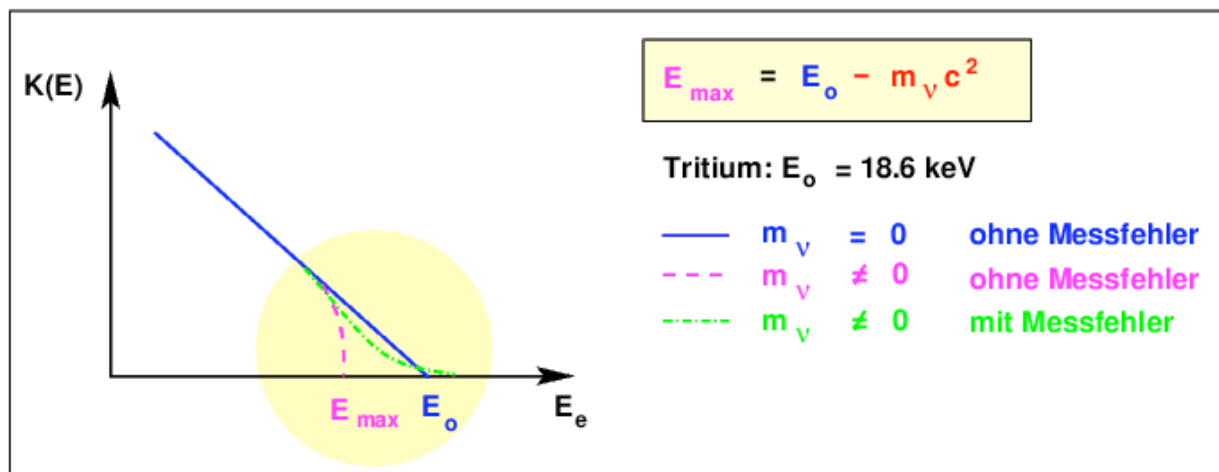
Kurve schneidet Achse senkrecht:

$$\frac{dK(E)}{dE} = \infty \text{ bei } E_{\max} = E_0 - m_{\nu}c^2$$

$\longrightarrow m_{\nu}$  bestimbar

Experiment: Zählrate sehr klein in Nähe der Maximalenergie  
Auflösung verschmiert Spektrum

$m_{\nu}$  Bestimmung: Fit an gemessenen Kurvenverlauf unter Annahme verschiedener  $m_{\nu}$



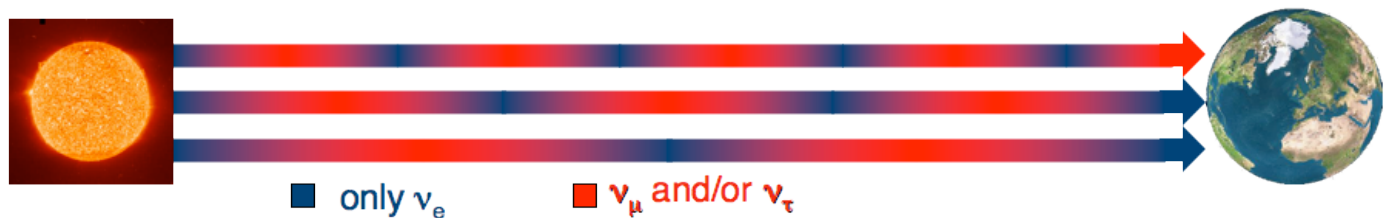
## 17.3 Neutrino Oszillationen

### Annahme:

- Betrachte NUR ZWEI Neutrino familien
- Neutrinos haben (verschiedene) Massen:  $\Delta m_\nu \neq 0$
- Eigenzustände der schwachen WW sind eine Mischung der Masseneigenzustände ( $\theta$  .... Mischungswinkel)

$$\begin{pmatrix} \nu_\alpha \\ \nu_\beta \end{pmatrix} = \begin{pmatrix} \cos \theta & \sin \theta \\ -\sin \theta & \cos \theta \end{pmatrix} \begin{pmatrix} \nu_1 \\ \nu_2 \end{pmatrix}$$

→ Ein reiner  $\nu_\alpha$  Strahl zur Zeit  $t = 0$  kann zu einem späteren Zeitpunkt ein  $\nu_\beta$  Strahl werden



### Oszillationswahrscheinlichkeit:

$$P(\nu_\alpha \rightarrow \nu_\beta) = \sin^2 2\theta \sin^2\left(\frac{1.27 \Delta m_{12}^2 L}{E}\right)$$

→  $\Delta m = 0 : P = 0.$

$$P(\nu_\alpha \rightarrow \nu_\alpha) = 1 - \sin^2 2\theta \sin^2\left(\frac{1.27 \Delta m_{12}^2 L}{E}\right)$$

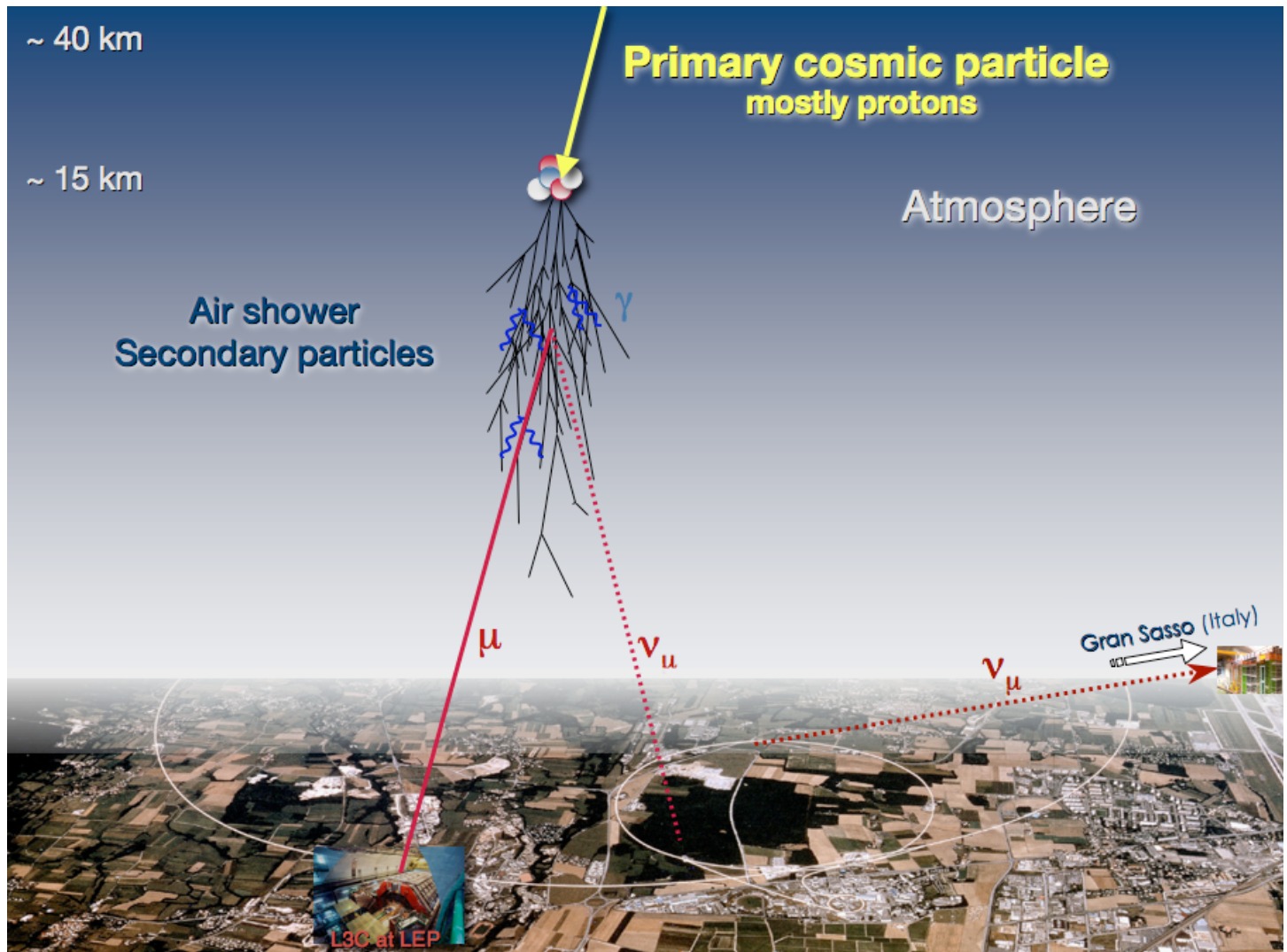
Ungefährre Bereiche der Neutrinoenergien  $E$ , des Abstandes  $L$  sowie Empfindlichkeitsgrenzen  $\Delta m_{\min}^2$  für verschiedene  $\nu$ -Quellen in Oszillationsexperimenten:

| $\nu$ Quelle  | $\nu$ Arten der Quelle                       | $E$ – Bereich [MeV]  | $L$ – Bereich [m]   | $\Delta m_{\min}^2$ [eV $^2$ ] | Oszillation                                 |
|---------------|--|----------------------|---------------------|--------------------------------|---|
| Reaktor       | $\bar{\nu}_e$                                | 1–10                 | $10\text{--}10^3$   | $10^{-2}$                      | $\bar{\nu}_e \leftrightarrow \bar{\nu}_\mu$ |
| Beschleuniger | $\nu_\mu, \bar{\nu}_\mu$                     | $10\text{--}10^5$    | $10\text{--}10^7$   | $1\text{--}10^{-4}$            | $\bar{\nu}_\mu \leftrightarrow \bar{\nu}_e$ |
| Atmosphäre    | $\nu_\mu, \bar{\nu}_\mu, \nu_e, \bar{\nu}_e$ | $10^2\text{--}10^4$  | $10^4\text{--}10^7$ | $10^{-5}$                      | $\nu_\mu \leftrightarrow \nu_\tau$          |
| Sonne         | $\nu_e$                                      | $10^{-1}\text{--}10$ | $10^{11}$           | $10^{-12}$                     | $\nu_e \leftrightarrow \nu_\mu$             |

Bemerkung: Beschleuniger: short Baseline:  $L = 10^2 \text{--} 10^3$  m

long Baseline:  $L = 10^4 \text{--} 10^7$  m

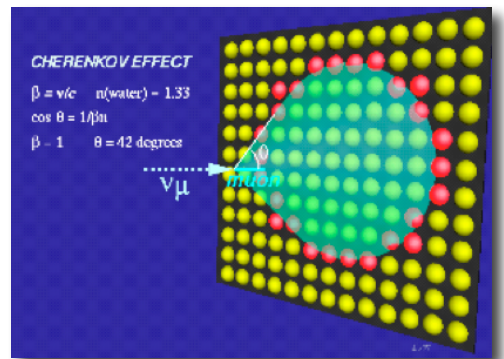
## 17.4 Atmosphärische Neutrinos



Atmosphärische Neutrinos:  $\pi^- \rightarrow \mu^- \bar{\nu}_\mu$   
 $\mu^- \rightarrow e^- \bar{\nu}_e \nu_\mu$

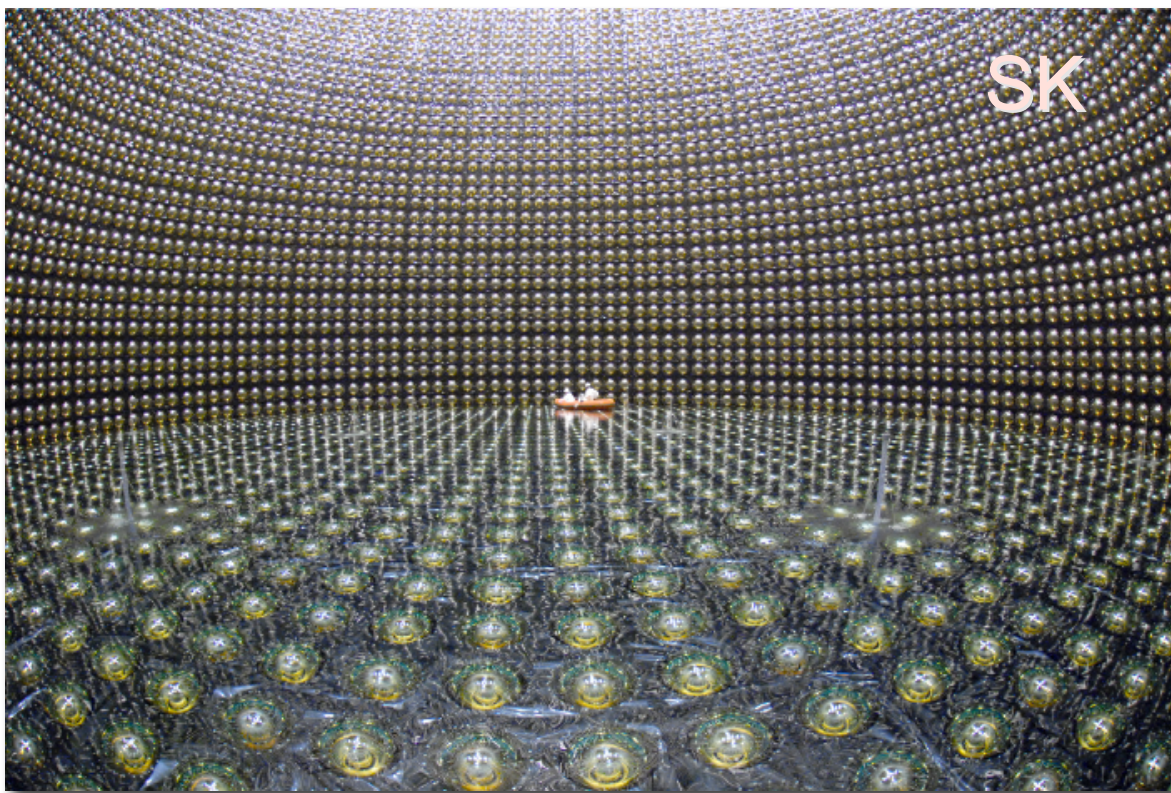
# Super-Kamiokande (SK) Experiment

Super-Kamiokande Experiment located 1'000 m underground in Kamioka mine (Japan) observed solar and atmospheric neutrino interactions in 50'000 tons of pure water  
Measure Cherenkov light from leptons ( $e$  or  $\mu$ )



## Signals:

1. Solar neutrino anomaly
2. First evidence of neutrino oscillations from atmospheric  $\nu$ 's in 1998



11'200 PMs, PM diameter = 50 cm  
Energy threshold: 5 MeV  
Detector: cylinder of 41.2 m (height) x 39.3 m (diameter)

# Results from SK: Atmospheric Neutrinos

Measure number of events of each type as function of energy and direction  $\Rightarrow$  compare with prediction **with** and **without** oscillation

1<sup>st</sup> piece of evidence:  $\pi^- \rightarrow \mu^- \bar{\nu}_\mu$  and  $\mu^- \rightarrow e^- \bar{\nu}_e \nu_\mu$ :

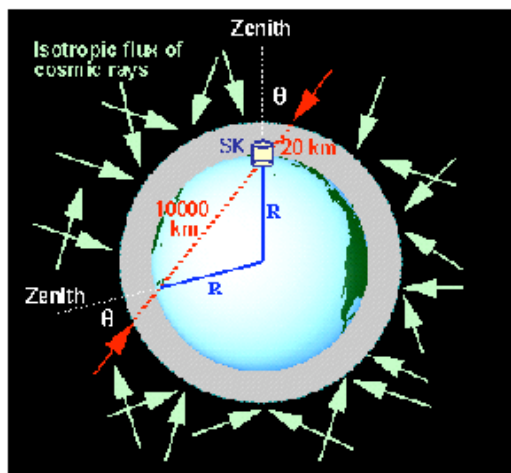
$$\text{Predict: } R = \frac{\nu_\mu + \bar{\nu}_\mu}{\nu_e + \bar{\nu}_e} \sim 2$$

$$\text{Double Ratio: } RR = \frac{(\mu/e)_{\text{measured}}}{(\mu/e)_{\text{predicted}}} \quad (\text{many uncertainties cancel})$$

Expect:  $RR = 1$  without oscillations

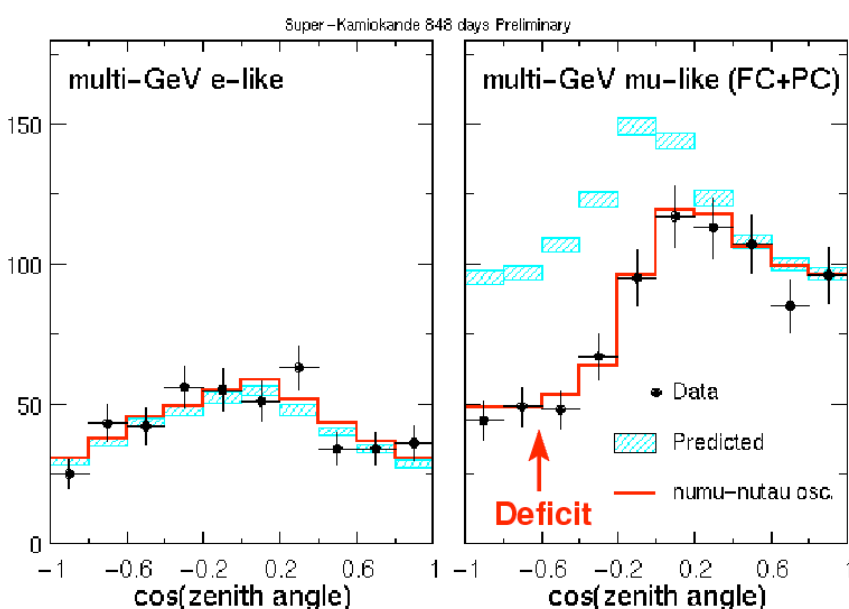
Data:  $RR = 0.63 \pm 0.03 \pm 0.05$  : Interpretation: deficit on  $N_\mu$  seen also by other experiments

2<sup>nd</sup> piece of evidence: up-down asymmetry  $A = \frac{\text{up-down}}{\text{up+down}}$ : expect zenith-distribution symmetric if no oscillation



Data:  $\mu$ -events:  
 $A = 0.2963 \pm 0.048 \pm 0.01$

Data:  $e$ -events:  
 $A$  consistent with 0



Data are consistent with neutrino oscillation:

$$\nu_\mu \longrightarrow \nu_x$$

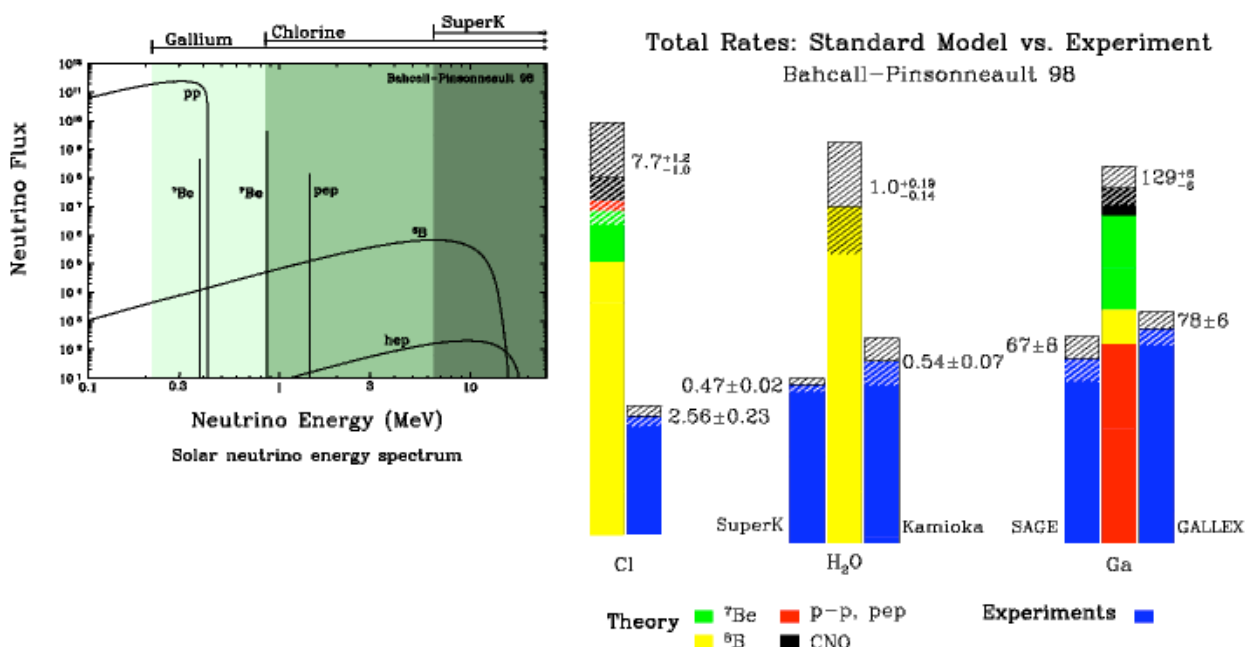
$$\Delta m^2 = 10^{-3} - 10^{-2} \text{ eV}^2$$

$$\sin^2 2\Theta \sim 1$$

## 17.5 Neutrinos von der Sonne

- Auskunft über Sonne:  
 $\nu$ 's vom Sonneninneren zur Erde: 8.3min  
 $\gamma$ 's vom Sonneninneren nach  $\sim 10^6$  Jahre zur Sonnenoberfläche diffundiert
- Auskunft über Neutrinos:  $R_{\text{Sonne}} \sim 7 \cdot 10^5$  km  
Distanz von Sonne zur Erde:  $1.5 \cdot 10^8$  km  
→ Oszillationen in Materie und Vakuum möglich

### Vor Sommer 2001

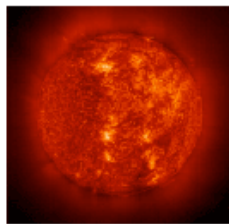


1 SNU = 1  $\nu_e$ -Einfang pro Sekunde und pro  $10^{36}$  Targetteilchen  
SNU = Solar Neutrino Unit

Ergebnis: Defizit gegenüber Standard Solar Modell (SSM)  
Vorhersage

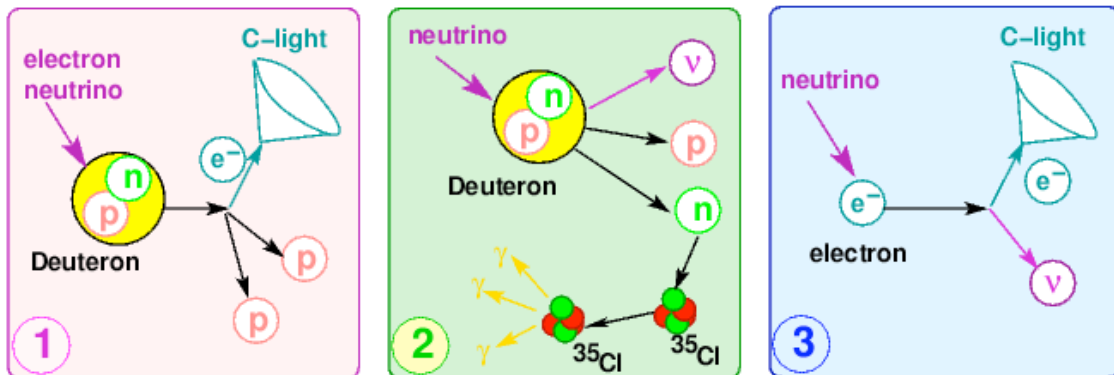
Astrophysikalischer Effekt oder Neutrino Oszillationen ?

# Solar Neutrinos and SNO



**SNO : Sudbury Neutrino Observatory**

SNO measures  ${}^8\text{B}$  solar neutrinos via following reactions using ultra-pure  $\text{D}_2\text{O}$ :



|   |                                       |    |  |
|---|---------------------------------------|----|--|
| 1 | $\nu_e + d \rightarrow p + p + e^-$   | CC | only $\nu_e$   |
| 2 | $\nu_x + d \rightarrow p + n + \nu_x$ | NC | all $\nu$ -types   |
| 3 | $\nu_x + e^- \rightarrow \nu_x + e^-$ | ES | all $\nu$ -types,<br>but reduced<br>sensitivity to $\nu_\mu, \nu_\tau$ |

Comparision of  ${}^8\text{B}$ -flux deduced from ES reaction, assuming no  $\nu$ -oscillation ( $\Phi_{\text{ES}}(\nu_x)$ ) to that measured by CC reaction ( $\Phi_{\text{CC}}(\nu_e)$ )

⇒ If  $\nu$ 's from sun change to other  $\nu$ -flavour:

$$\Phi_{\text{CC}}(\nu_e) < \Phi_{\text{ES}}(\nu_x)$$

⇒ Evidence for oscillation without reference to solar model flux calculation

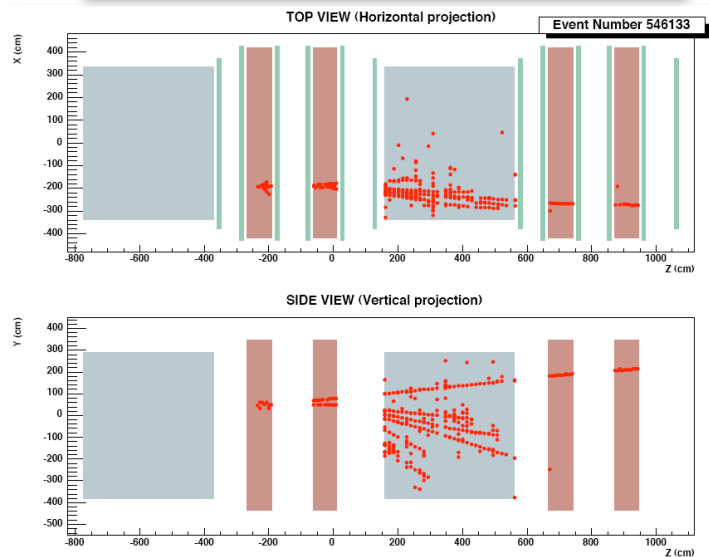
SNO measured  $\Phi_{\text{CC}}(\nu_e) < \Phi_{\text{ES}}(\nu_x)$  and  $\Phi_{\text{NC}}(\nu_{e,\mu,\tau})$  is in agreement with Solar Standard Model

# Future: Long-Baseline $\nu$ Experiments

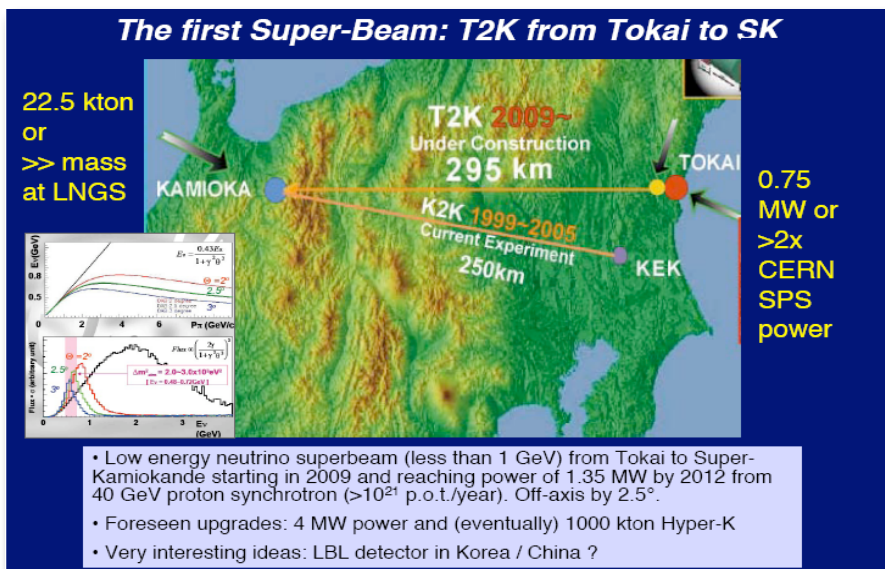
- CERN neutrino beam to Gran Sasso underground laboratory at 730 km distance from CERN



First  $\nu$   
events  
detected  
with OPERA  
in August  
2006



- $\nu$ -beam from FERMILAB to Sudan Mine (USA) at 730 km distance; started in 2005; MINOS experiment
- T2K (Tokai to Kamioka) in Japan: start in 2009  
SK Experiment in Kamioka at 295 km distance



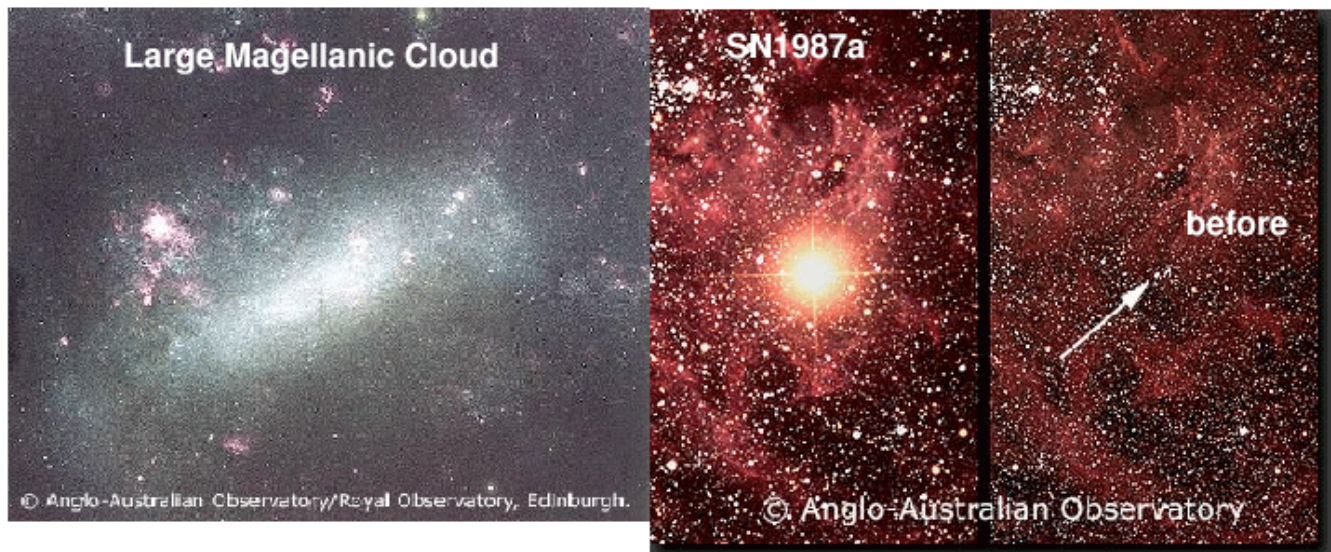
A very high intensity  $\nu$ -beam (super beam) is presently constructed at Tokai  
⇒ measure precisely the  $\nu$  mixing parameters

## 17.6 Neutrinos von Supernova 1987A

Am 23. Februar 1987: Stern kollabierte in Nachbargalaxie  
*Grosse Magellansche Wolke:*  
ca 170000 Lj entfernt

Supernova 1987A wurde nicht vorhergesagt !

Mit freiem Auge sichtbare SN: im Jahre 1006, 1572, 1604, 1987



Gravitationskollaps setzt ungeheure Energie frei:  
kleiner Teil in Strahlung (obwohl hell scheint)  
meiste Anteil → Neutrinos

Neutrinos: Einige Sekunden nach Explosion wird  
äußere Schale  $\nu$ -durchlässig  
→ fliegen durch den Raum  
 $\nu$  mit  $m_\nu \sim 0$ :  $v \sim c$

Strahlung: erst nach einiger Zeit fängt SN zu leuchten an  
⇒ Neutrinos sind vorher weggekommen !!

# SN1987A und Untergrundexperimente

Wie hat man den Neutrino–Burst von SN1987A nachgewiesen ?

Untergrundexperimente messen Proton Lebensdauer

$\tau_{\text{Proton}} > 10^{32}$  Jahre  
auch sensitiv zu  $\nu$ 's von SN  
(jedoch niemand suchte danach!)

## Nach Nachricht über SN1987A: Analyse der Daten

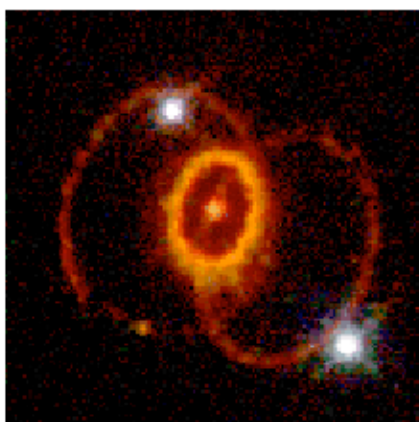
Kamiokande Experiment (Japan): 10.3.1987 berichteten über  $\nu$ –Signal vom 23.2.1987: Signal kam 3 Stunden vor dem Licht Signal an

Zeit der SN Ereignisse: Genauigkeit war 1 Minute (Stromausfall!!!)

SN1987A:  $\sim 10^{58} \nu$ 's produziert  
 $\sim 3 \cdot 10^{14} \nu$ 's durch Detektor  
11 davon aufgezeichnet

IBM Experiment (USA): **Fanden 8  $\nu$  Ereignisse**  
→ bestätigten Kamiokande

- ⇒ Alles passte zusammen: Genau wie Supernova Theorie !!!  
Grenze für  $m_\nu$ :  $m_\nu < 30 \text{ eV}/c^2$   
Falls  $\nu$  Masse hat → Photon kommt früher an  
⇒ Heute sucht man systematisch nach SN Explosionen auch in Untergrundexperimenten !!



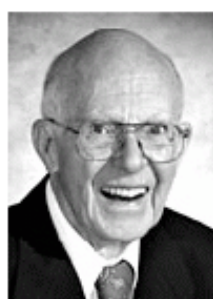
SN1987A Rings  
Hubble Space  
Telescope

# Physik Nobelpreis in 2002



**Masatoshi Koshiba**

University of Tokyo



**Raymond Davis**

University of Pennsylvania



**Riccardo Giacconi**

Associated University Inc., Washington, DC

For pioneering contributions  
to astrophysics,  
in particular for the  
detection of cosmic neutrinos

For pioneering contributions  
to astrophysics, which have  
led to the discovery of cosmic  
X-ray sources

## R. Davis:

Beweis für Existenz von solaren Neutrinos

Hat in 1960-iger Jahren mit Experimenten in South Dakota (USA) Goldmine begonnen (bis 1994)

## M. Koshiba:

Kamiokande Experiment in Japan

Solare Neutrinos bestätigt, Neutrinos von der Supernova 1987A atmosphärische Neutrinos: 1. Evidenz für Neutrino Oszillationen

## R. Giacconi:

Teleskop für X-ray Detection: Strahlung aus dem Kosmos entdeckt

später: Satellitenexperimente (erstes Experiment 1970): grosse Zahl von X-ray Quellen entdeckt